

Plenarübung LA II

(Inhalts)-Woche 10



Link zu diesen Folien

Die Umfrageergebnisse

Zusammenfassung für G01Q02		
Was soll in der Plenarübung vorrangig behandelt werden?		
Antwort	Anzahl	Brutto-Prozentsatz
Wiederholung von Skriptinhalten	Ansehen 11	45.83%
Erklärungen zu Skriptbeispielen	Ansehen 1	4.17%
Lösungen der Hausaufgaben	Ansehen 2	8.33%
Nicht beendet oder nicht gezeigt	10	41.67%
Gesamt(Brutto)	24	100.00%

Zusammenfassung für G01Q01		
Welche Anmerkungen oder Fragen haben Sie zur Veranstaltung oder ihren Inhalten?		
Antwort	Anzahl	Brutto-Prozentsatz
Antwort 7	7	29.17%
Keine Antwort	7	29.17%
Nicht beendet oder nicht gezeigt	10	41.67%
Gesamt(Brutto)	24	100.00%

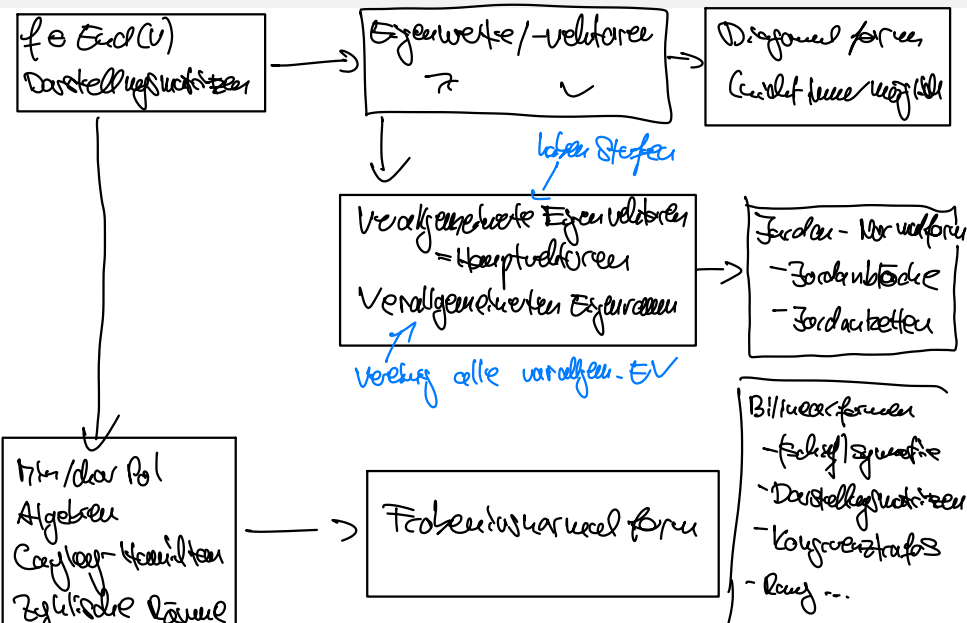
Interesse an:

- (1) Basics zur JNF
- (2) Sättigung von Kernen (Lemma 30.2)
- (3) Visualisierung zu den Normalformen
- (4) Bestimmung passender Transformationsmatrizen (zur JNF Beispiel 30.9)
- (5) Identifikationen, Darstellung und Dualität bei Bilinearformen

Das heutige Programm

- (1) Wochenüberblick
- (2) Wiederholung Hauptvektoren, Jordannormalform
- (3) Übersicht und Vergleich der Normalformen
- (4) Visualisierung von Normalformen
- (5) Bestimmung von Transformationsmatrizen
- (6) Übersicht Identifikation, Darstellung und Dualität bei Bilinearformen

Wochenübersicht



Wiederholung verallgemeinerter Eigenprobleme

Definition 30.1

Es sei K ein Körper und $A \in K^{n \times n}$ für $n \in \mathbb{N}_0$.

- (1) Ein Vektor $x \in K^n \setminus \{0\}$ heißt ein **verallgemeinerter Eigenvektor** oder **Hauptvektor** zum **Eigenwert** $\lambda \in K$ der Matrix A , wenn

$$x \in \text{Kern}(\lambda I - A)^k \Leftrightarrow (\lambda I - A)^k x = 0 \Leftrightarrow (\lambda I - A) \underbrace{(\lambda I - A)^{k-1} x}_{\in \text{Eig}(A, \lambda)} = 0$$

für ein $k \in \mathbb{N}$ gilt. Wir sprechen von einem verallgemeinerten Eigenvektor der **Stufe** $k \in \mathbb{N}$, wenn

$$x \in \underbrace{\text{Kern}((\lambda I - A)^k)}_{\text{werden z.T. außerhalb verallgemeinerte EV bezeichnet "B-Stufe" } \in} \setminus \text{Kern}((\lambda I - A)^{k-1})$$

gilt. $\text{Kern}(\lambda I - A) \subseteq \dots \subseteq \text{Kern}(\lambda I - A)^k \subseteq \dots$

- (2) $\text{GEig}(A, \lambda) := \{x \in K^n \mid (\lambda I - A)^k x = 0 \text{ für ein } k \in \mathbb{N}\}$

heißt der **verallgemeinerte Eigenraum** zu $\lambda \in K$.

verallgemeinerte EV jede Stufe

= $\text{Kern}(\lambda I - A)^n$ \subset Raumfach

Sättigung der Kerne

Lemma 30.2

Es sei K ein Körper und $A \in K^{n \times n}$ für $n \in \mathbb{N}_0$. Dann gilt

$$\text{Kern}(A^n) = \text{Kern}(A^{n+j}) \quad \text{für alle } j \in \mathbb{N}_0.$$

Beweis: „ \subseteq “ klar, da $A^0 = \mathbb{O} \supseteq$ “ Haben wir in HA 12.1-a) gezeigt, dass

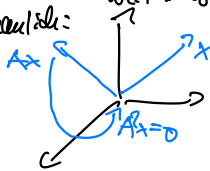
Ist $A^{k-1}x \neq \mathbb{O}$ $A^kx = \mathbb{O}$, dann sind $\{x, Ax, \dots, A^{k-1}x\}$ lin. unabh. off.

Denn falls $\sum_{i=0}^{k-1} \alpha_i A^i x = \mathbb{O} \Rightarrow \mathbb{O} = A^{k-1} \left(\sum_{i=0}^{k-1} \alpha_i A^i x \right) = \alpha_k x \Rightarrow \alpha_k = 0$

... schreibe $\alpha_i := 0 \quad \forall i = 0 \dots k-1 \stackrel{\text{Dim}=n}{\Rightarrow} A^k x = \mathbb{O}$ oder $A^{k-1}x \neq \mathbb{O}$ wären

weil sonst $n+1$ lin. unabh. Vektoren in K^n entstehen würden. \square \square

Ausdruck:



x folgen k A-Potenzen zur 0

$A^{k-1} - \dots - A^1$ A-Potenzen ...

Hier kann keine Reduktion mehr erfolgen.

Wiederholung Jordan-Normalform

Satz 30.7 (Version für Matrizen)

Es sei K ein Körper und $A \in K^{n \times n}$ für $n \in \mathbb{N}_0$. Wenn χ_A in Linearfaktoren zerfällt, dann ist A ähnlich zu einer Blockdiagonal-Matrix

$$\xrightarrow{\chi_A \text{ zerfällt}} \begin{bmatrix} J_{r_1}(\lambda_1) & & & \\ & J_{r_2}(\lambda_2) & & \\ & & \ddots & \\ & & & J_{r_k}(\lambda_k) \end{bmatrix}$$

*Die Größe bestimmt
die Anzahl der Blöcke*

aus $r \times r$ Jordan-Blöcken $J_r(\lambda) :=$

$$\mathfrak{J}_r(\lambda) - \lambda I_r = \begin{bmatrix} 0 & 1 & & \\ 0 & 0 & \ddots & \\ & & \ddots & 1 \\ 0 & & & 0 \end{bmatrix} \rightarrow$$

$$\begin{bmatrix} \lambda & 1 & 0 & \cdots & 0 \\ 0 & \ddots & & & 0 \\ & & \ddots & & 1 \\ & & & \ddots & 0 \\ 0 & & & & \lambda \end{bmatrix} \in K^{r \times r}.$$

Warmup zur Jordan-Normform

Welche der folgenden Matrizen sind in Jordan-Normalform?

Nicht,
keine
Vektorraumbedingung
koppelt die
falschen Werte

$$\begin{bmatrix} 1 & 0 & 0 & 0 & 0 & 0 & 0 & 0 \\ 0 & 2 & -1 & 0 & 0 & 0 & 0 & 0 \\ 0 & 0 & 3 & 0 & 0 & 0 & 0 & 0 \\ 0 & 0 & 0 & 1 & 0 & 0 & 0 & 0 \\ 0 & 0 & 0 & 0 & 2 & 1 & 0 & 0 \\ 0 & 0 & 0 & 0 & 0 & 3 & 0 & 0 \\ 0 & 0 & 0 & 0 & 0 & 0 & 1 & 0 \\ 0 & 0 & 0 & 0 & 0 & 0 & 0 & 2 \end{bmatrix}$$

$$\begin{bmatrix} 1 & 0 & 0 & 0 & 0 & 0 & 0 & 0 \\ 0 & 1 & 0 & 0 & 0 & 0 & 0 & 0 \\ 0 & 0 & 1 & 0 & 0 & 0 & 0 & 0 \\ 0 & 0 & 0 & 1 & 0 & 0 & 0 & 0 \\ 0 & 0 & 0 & 0 & 1 & 0 & 0 & 0 \\ 0 & 0 & 0 & 0 & 0 & 1 & 0 & 0 \\ 0 & 0 & 0 & 0 & 0 & 0 & 1 & 0 \\ 0 & 0 & 0 & 0 & 0 & 0 & 0 & 1 \end{bmatrix}$$

Ja, Es ist
0, 1, 1
 $\lambda^4 = \mu^8 = 4^4 = 4$
 $\text{Rang} = 4$
 $\text{Rgo} = 2$

Nicht \rightarrow 0
Nicht Null-Element
auf Stellengrenzen

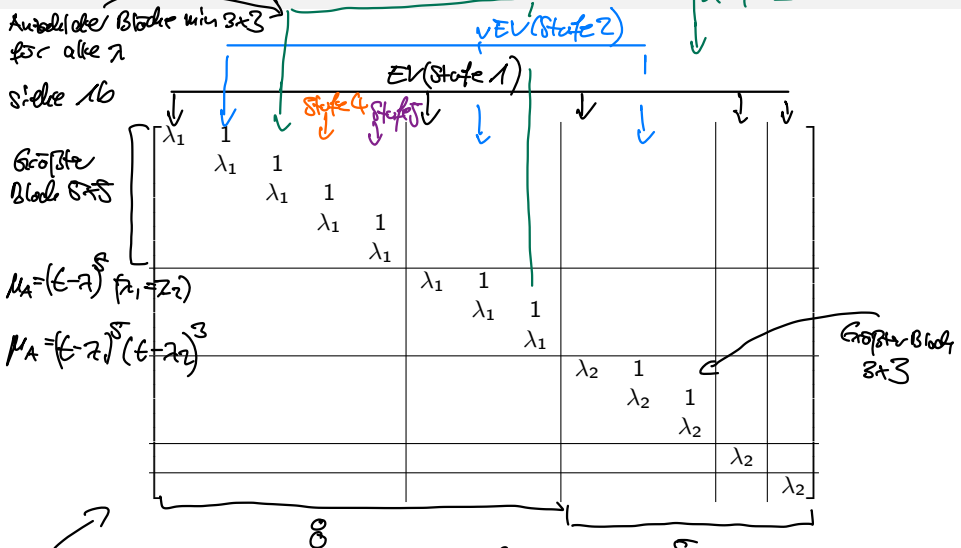
Fast ZNT,
nur die Reihenfolge
der Basisvektoren
pro Block falsch

$$\begin{bmatrix} 1 & 0 & 0 & 0 & 0 & 0 & 0 & 0 \\ 0 & 1 & 0 & 0 & 0 & 0 & 0 & 0 \\ 0 & 0 & 2 & 0 & 0 & 0 & 0 & 0 \\ 0 & 0 & 0 & 1 & 2 & 0 & 0 & 0 \\ 0 & 0 & 0 & 0 & 0 & 3 & 0 & 0 \\ 0 & 0 & 0 & 0 & 1 & 3 & 0 & 0 \\ 0 & 0 & 0 & 0 & 0 & 0 & 1 & 3 \\ 0 & 0 & 0 & 0 & 0 & 0 & 0 & 0 \end{bmatrix}$$

$$\begin{bmatrix} 1 & 0 & 0 & 0 & 0 & 0 & 0 & 0 \\ 0 & 2 & 0 & 0 & 0 & 0 & 0 & 0 \\ 0 & 0 & 3 & 0 & 0 & 0 & 0 & 0 \\ 0 & 0 & 0 & 4 & 1 & 0 & 0 & 0 \\ 0 & 0 & 0 & 0 & 4 & 0 & 0 & 0 \\ 0 & 0 & 0 & 0 & 0 & 3 & 0 & 0 \\ 0 & 0 & 0 & 0 & 0 & 0 & 2 & 0 \\ 0 & 0 & 0 & 0 & 0 & 0 & 0 & 1 \end{bmatrix}$$

Ja,

Aus der JNF ablesbare Informationen



$$\text{char/under - Pol zerfallen, } \chi_A = (\epsilon - \lambda_1)^8 (\epsilon - \lambda_2)^5$$

Jeder Block entspricht einer Jordankette

Übersicht Normalformen

Diagonalform

Optimale Blockgröße ($k \times k$)

Keine Kopplung

Konstruktion unproblematisch
(Lösen von LGS)

Reihenfolge nicht festgelegt

Braucht Basis aus EV(-)

$$\begin{bmatrix} x & & & \\ & \ddots & & \\ & & \ddots & \\ & & & x \end{bmatrix}$$

Jordan-NF

Blockgröße n möglich

Übersichtliche Kopplung
(Ketten)

Konstruktion unproblematisch
(LGS mehradrückig lösen)

Reihenfolge nicht festgelegt

Braucht Basis aus verallg.
EVen (zerfallendes χ_A)

$$\begin{bmatrix} x & 1 & & & \\ & \ddots & \ddots & & \\ & & \ddots & 1 & \\ & & & x & 1 \\ & & & & \ddots & 1 \\ & & & & & x \end{bmatrix}$$

Frobenius-NF

Blockgröße n möglich

Kopplung kann zyklisch vollständig sein

Konstruktion kann schwieriger sein (Gescheide Rechnen)

Reihenfolge festgelegt

Keine möglich (+ +)

$$\begin{bmatrix} 0 & 1 & & & & \\ 1 & 0 & & & & \\ & \ddots & \ddots & & & \\ & & \ddots & 1 & & \\ & & & 1 & 0 & \\ & & & & 1 & 0 \end{bmatrix}$$

Übereinstimmung der Normalformen

DF = JNF

Die DF und die JNF von A stimmen genau dann überein, wenn
Basis aus EV existiert ($\Leftrightarrow A$ diagonalisierbar) ← Super :
 \Leftrightarrow Jordanblöcke 1x1
 $\Leftrightarrow \chi_A$ zerfällt in L+F und μ_A hat nur CF mit Potenz 1

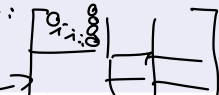
DF = FNF

Die DF und die FNF von A stimmen genau dann überein, wenn
 $A = \lambda I_n$ wegen der Teilkoeffizientenregel weil weil $(f-a_1)(f-a_2)$
 $\Leftrightarrow \lambda_1 = \lambda_2$

JNF = FNF

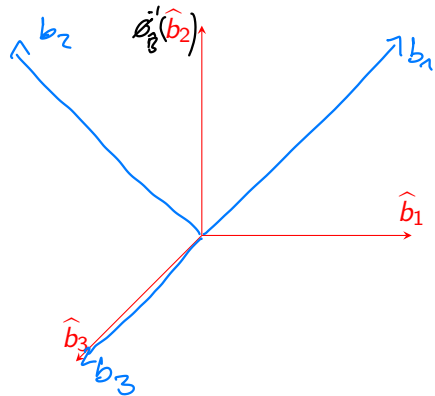
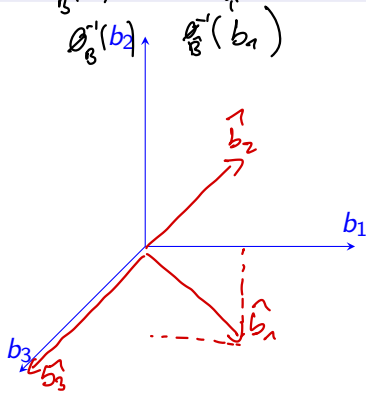
Die JNF und die FNF von A stimmen genau dann überein, wenn $A = \lambda I$
weil Jordanblöcke \cong Blockdiagonale \Leftrightarrow Bbd 1x1. Wenn wir Umordnung der
Basisvektoren innerhalb der Jordanblöcken erlauben ist das möglich:

Die NF besteht aus Blöcken unterschiedlicher Größe bzw. zw. 0.
Invariante Teilheit f →



Visualisierung von Normalformen 1: Basiswechsel

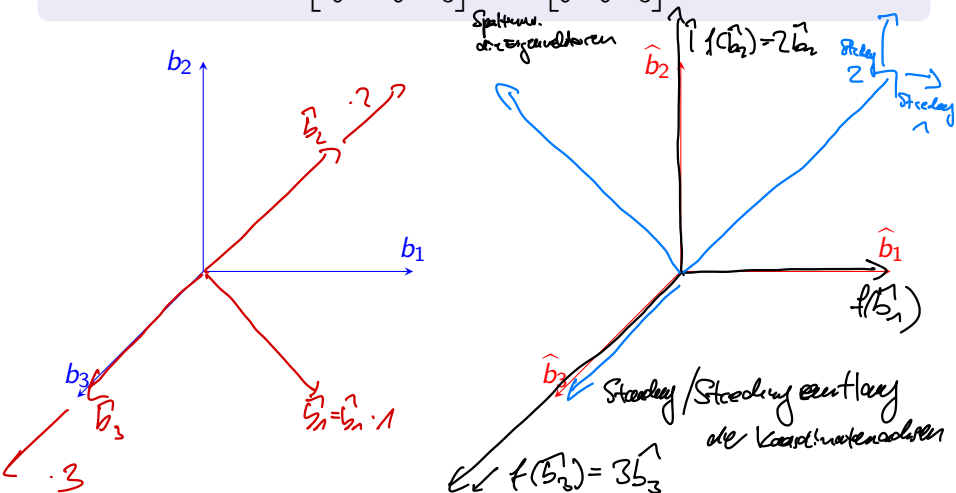
Wie arbeitet $\mathcal{T}_{\hat{B}}^B = \begin{bmatrix} 1 & -1 & 0 \\ 1 & 1 & 0 \\ 0 & 0 & 1 \end{bmatrix} = \begin{bmatrix} 0.5 & 0.5 & 0 \\ -0.5 & 0.5 & 0 \\ 0 & 0 & 1 \end{bmatrix}^{-1} = \mathcal{T}_B^{\hat{B}}{}^{-1}$?



Keine Basis ist "richtig". Es kommt darauf an, was man untersucht!

Visualisierung von Normalformen 2: Diagonalfom

Wie arbeitet $\mathcal{M}_B^B(f) = \begin{bmatrix} 1.5 & 0.5 & 0 \\ 0.5 & 1.5 & 0 \\ 0 & 0 & 3 \end{bmatrix} = T_B^{\widehat{B}} \begin{bmatrix} 1 & 0 & 0 \\ 0 & 2 & 0 \\ 0 & 0 & 3 \end{bmatrix} T_{\widehat{B}}^B = T_B^{\widehat{B}} \mathcal{M}_{\widehat{B}}^{\widehat{B}}(f) T_{\widehat{B}}^B$?



Visualisierung von Normalformen 3: Jordan-Normalform

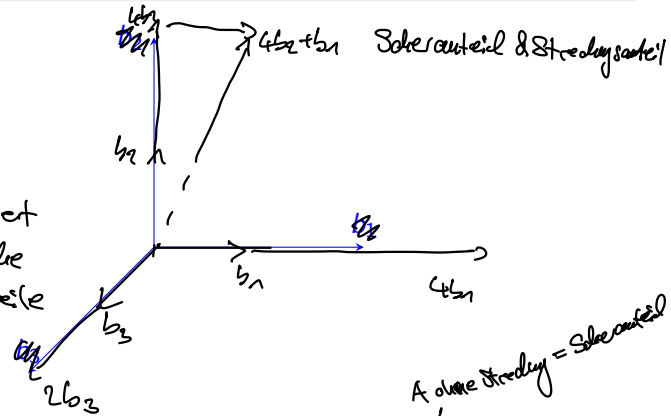
Hier ohne das "ursprüngliche" Koordinatensystem! Eigenräume direkt dargestellt

Wie arbeitet $\underbrace{M_B^B(f)}_{\mathcal{J}} = \begin{bmatrix} 4 & 1 & 0 \\ 0 & 4 & 0 \\ 0 & 0 & 2 \end{bmatrix}$?

A streckt und schiebt Anteile
geschrägter Ordnung herum.

$\mathcal{J} - 2\mathbb{I}$ \leftarrow \mathcal{J} reduziert

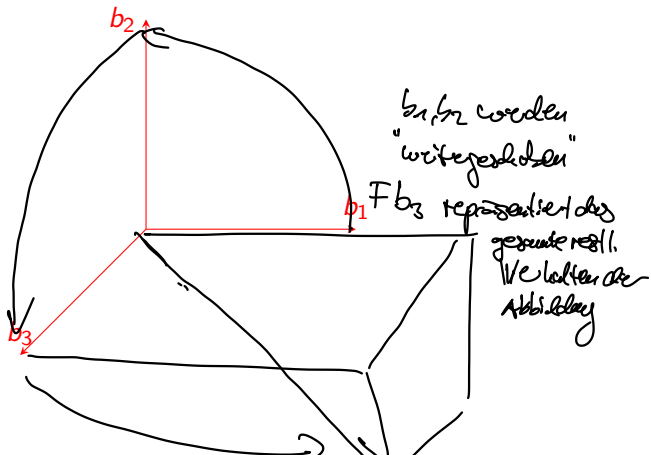
von \mathbb{R} -fache
Streckanteile



b_2 Hauptvektor d. Stufe 2 also $0 = (\mathcal{J} - 2\mathbb{I}) b_2 = (\mathcal{J} - 2\mathbb{I})(\mathcal{J} - 2\mathbb{I}) b_2$

Visualisierung von Normalformen 4: Frobenius-Normalform

Wie arbeitet $M_{\mathbb{F}}^{\widehat{B}}(f) = \begin{bmatrix} 0 & 0 & 32 \\ 1 & 0 & -32 \\ 0 & 1 & 10 \end{bmatrix} = \left[\begin{array}{c|ccc} & \text{elliptical} & \text{hyperbolic} & \text{parabolic} \\ \hline & 4 & 1 & 0 \\ & 0 & 4 & 0 \\ & 0 & 0 & 2 \end{array} \right] \cdot \left[\begin{array}{c|ccc} & \text{elliptical} & \text{hyperbolic} & \text{parabolic} \\ \hline & 1 & 0 & 0 \\ & 0 & 1 & 0 \\ & 0 & 0 & 1 \end{array} \right]$.



Transformationsmatrizen bestimmen (Beispiel 30.9 (ii))

Bestimmen Sie die JNF und dazugehörige Transformationsmatrizen von

der Matrix $A = \begin{bmatrix} 1 & 1 & 2 \\ 1 & 1 & -2 \\ -1 & 1 & 4 \end{bmatrix} \in \mathbb{Q}^{3 \times 3}$ $A = T \tilde{J} T^{-1}$ bzw $\tilde{J} = T^{-1} A T$

1. Bestimmen $\chi_A = (t-2)^3, \mu_A = (t-2)^2 \Rightarrow \tilde{J} = \begin{array}{c|c} \begin{matrix} 2 & 1 \\ 1 & 2 \end{matrix} & \\ \hline & 2 \end{array}$
2. Bestimme $\text{Ker}(2\tilde{J}-A)$ über kann GS $\Rightarrow \text{Ker}(\cdot) = \left\langle \begin{pmatrix} 1 \\ 1 \\ 0 \end{pmatrix}, \begin{pmatrix} 2 \\ 0 \\ 1 \end{pmatrix} \right\rangle$ (Stufe 1) ✓
3. Bestimme $\text{Ker}(2\tilde{J}-A)^2$ über Lsg von $(2\tilde{J}-A)x = v$ für passendes $v \in \text{Eig}(A, 2) \setminus \{0\}$

Nicht jede EV ist geeignet, um eine Jordankette zu starten!
Es gibt aber geeignete, die müssen wir "nur" finden.

$$(2\tilde{J}-A)x = \begin{bmatrix} 1 & -1 & -2 \\ -1 & 1 & 2 \\ 1 & -1 & -2 \end{bmatrix}x = \underbrace{\alpha \begin{pmatrix} 1 \\ 1 \\ 0 \end{pmatrix} + \beta \begin{pmatrix} 2 \\ 0 \\ 1 \end{pmatrix}}_{\in \text{Eig}(A, 2)} = \begin{pmatrix} \alpha + 2\beta \\ \alpha \\ \beta \end{pmatrix}$$

$\alpha \neq 0$
 $\alpha + \beta \rightsquigarrow \alpha = -\beta$
 $\beta \neq 0$

Transformationsmatrizen bestimmen (Beispiel 30.9 (ii)) (2)

Bestimmen Sie die JNF und dazugehörige Transformationsmatrizen von

$$\text{der Matrix } A = \begin{bmatrix} 1 & 1 & 2 \\ 1 & 1 & -2 \\ -1 & 1 & 4 \end{bmatrix} \in \mathbb{Q}^{3 \times 3} \quad A = T \tilde{J} T^{-1}$$

$$-\alpha V \text{ zu } \alpha = -\beta = 1$$

Spalten: $\left[\begin{array}{ccc|c} 1 & -1 & -2 & \alpha + 2\beta \\ -1 & 1 & 2 & \alpha \\ 1 & -1 & -2 & \beta \end{array} \right] \xrightarrow{\text{ZSF}} \left[\begin{array}{ccc|c} 1 & -1 & -2 & \alpha + 2\beta \\ 0 & 0 & 0 & 2\alpha + 2\beta \\ 0 & 0 & 0 & \alpha + \beta \end{array} \right] \sim \begin{aligned} x_1 &= \begin{pmatrix} -1 \\ 1 \\ 0 \end{pmatrix} \\ x_2 &= \begin{pmatrix} 1 \\ 0 \\ 0 \end{pmatrix} \\ x_3 &= \begin{pmatrix} 1 \\ 0 \\ 1 \end{pmatrix} \end{aligned}$

$\rightsquigarrow T = \begin{bmatrix} -1 & 1 & 1 \\ 1 & 0 & 0 \\ -1 & 0 & 0 \end{bmatrix}$ Allgemeiner: $\begin{bmatrix} 1 & -1 & -2 \\ -1 & 1 & 2 \\ 1 & -1 & -2 \end{bmatrix} x = \alpha \begin{pmatrix} 1 \\ 1 \\ 0 \end{pmatrix} + \beta \begin{pmatrix} 1 \\ 0 \\ 0 \end{pmatrix}$

ist äquivalent zu $\left[\begin{array}{ccc|c} 1 & -1 & -2 & -1 & -2 \\ -1 & 1 & 2 & -1 & 0 \\ 1 & -1 & -2 & 0 & -1 \end{array} \right] \xrightarrow{\text{ZSF}}$

$\left[\begin{array}{ccc|c} 1 & -1 & -2 & -1 & -2 \\ 1 & 1 & 2 & -1 & 0 \\ 1 & -1 & -2 & 0 & -1 \end{array} \right] \xrightarrow{\alpha = -\beta} \left[\begin{array}{ccc|c} 1 & -1 & -2 & -1 & -2 \\ 1 & 1 & 0 & -1 & 0 \\ 1 & -1 & 0 & 0 & -1 \end{array} \right]$

(Lösungsmenge ist) Menge aus allen EV zu dem HV d. Stufe 2 erfüllt.

Transformationsmatrizen bestimmen (Beispiel 30.9 (ii))

Bestimmen Sie die FNF und dazugehörige Transformationsmatrizen von

$$\text{der Matrix } A = \begin{bmatrix} 1 & 1 & 2 \\ 1 & 1 & -2 \\ -1 & 1 & 4 \end{bmatrix} \in \mathbb{Q}^{3 \times 3} \quad A = \widehat{T} F \widehat{T}^{-1}$$

1. Wir wissen schon, dass $\chi = (t-7)^3$, $\mu = (t-2)^2$, also $F = \begin{bmatrix} 0 & -4 \\ 1 & 4 \\ 1 & 2 \end{bmatrix}$

2. Die dazugehörige Basis hat die Form (x, Ax, x_2) für unterschiedliche Vektoren x_1, x_2 .
Markierter Vektor x_1 kann auf LGS führen (z.B. HU der Stufe 2, also $\begin{pmatrix} 1 \\ 0 \\ 0 \end{pmatrix}$)

$$\Rightarrow \widehat{T} \stackrel{\sim}{=} \begin{bmatrix} 1 & 1 & 1 \\ 0 & 1 & 1 \\ 0 & -1 & 0 \end{bmatrix}$$

markiert für Rest analog auf Einheitsmatrix flw bestimbar
voll A vollauf, markiert für Rest analog auf Einheitsmatrix flw bestimbar

↑
In Allgemeinen aufwändiger

Transformationen zwischen JNF und FNF

Die Matrix $A = \begin{bmatrix} 1 & 1 & 2 \\ 1 & 1 & -2 \\ -1 & 1 & 4 \end{bmatrix}$ ist also ähnlich zu ihrer JNF (J) und ihrer FNF (F). Also sind J und F auch ähnlich und es gilt:

$$\begin{matrix} & \text{EV diag. B} & \text{Hilfsmatr. } T^{-1} & \text{weiter B} \\ F & \downarrow & \downarrow & \downarrow \\ \left[\begin{array}{ccc} 0 & -4 & 0 \\ 1 & 4 & 0 \\ 0 & 0 & 2 \end{array} \right] & = & \left[\begin{array}{ccc|c} -2 & 1 & 0 \\ 1 & 0 & 0 \\ 0 & 0 & 1 \end{array} \right] & \left[\begin{array}{ccc} 2 & 1 & 0 \\ 0 & 2 & 0 \\ 0 & 0 & 2 \end{array} \right] \left[\begin{array}{ccc} 0 & 1 & 0 \\ -1 & 2 & 0 \\ 0 & 0 & 1 \end{array} \right] \\ & & & \text{Multiplikation} \\ & & & \text{zu } F \end{matrix}$$

und

$$T^{-1} \hat{T} = \cancel{T} \quad \hat{T}^{-1} T \quad \text{HV}$$

$$\begin{bmatrix} 2 & 1 & 0 \\ 0 & 2 & 0 \\ 0 & 0 & 2 \end{bmatrix} = \begin{bmatrix} 0 & 1 & 0 \\ 1 & 2 & 0 \\ 0 & 0 & 1 \end{bmatrix} \begin{bmatrix} 0 & -4 & 0 \\ 1 & 4 & 0 \\ 0 & 0 & 2 \end{bmatrix} \begin{bmatrix} -2 & 1 & 0 \\ 1 & 0 & 0 \\ 0 & 0 & 1 \end{bmatrix}$$

↑↑↑
 Max
 Vektorauswahl $\Rightarrow v$ Watermark
 Vektor $\log B_3$

Algorithmus (Bestimmung von JNF-Transformationsmatrizen i. A.)

Eingabe: Matrix $A \in K^{n \times n}$, $n \in \mathbb{N}$ mit zerfallendem χ_A

Ausgabe: $J, T \in K^{n \times n}$ mit $A = TJT^{-1}$

- 1: Setze $B_J = \emptyset$
- 2: Bestimme $\Lambda := \{\lambda \in K \mid \lambda \text{ EW von } A\}$
- 3: **for** $\lambda \in \Lambda$ **do**
- 4: Bestimme Blockgrößen $R := \{r \in \mathbb{N} \mid \exists \lambda\text{-Block mit Größe } r\}$
- 5: **while** $R \neq \emptyset$ **do**
- 6: Setze $r := \max(R)$
- 7: Erweiter $B_J \cap \text{Kern}(\lambda I - A)^{r-1}$ zu Basis $B_{r-1} \cup \text{Kern}(\lambda I - A)^{r-1}$
- 8: Erweiter $B_{r-1} \cup (B_J \cap \text{Kern}(\lambda I - A)^r)$ zu Basis $B_r \cup \text{Kern}(\lambda I - A)^r$
- 9: **for** $x \in B_r \setminus (B_J \cup B_{r-1})$ **do**
- 10: Erweiter B_J um $((\lambda I - A)^{r-1}x, \dots, (\lambda I - A)x, x)$
- 11: **end for**
- 12: Setze $R := R \setminus r$
- 13: **end while**
- 14: Schreibe B_J spaltenweise in T .
- 15: **end for**

Wiederholung Bilinearformen

Wiederholung Bilinearform

Es sei V ein Vektorraum über dem Körper K .

Eine Abbildung $\gamma: V \times V \rightarrow K$ heißt eine **Bilinearform** auf $V \times V$, wenn für jedes feste $\bar{u} \in V$ und jedes feste $\bar{v} \in V$ die Abbildungen

$$\gamma(\bar{u}, \cdot): V \ni v \mapsto \gamma(\bar{u}, v) \in K$$

$$\gamma(\cdot, \bar{v}): V \ni u \mapsto \gamma(u, \bar{v}) \in K$$

beide linear sind.

$$\gamma(u, v) = \underbrace{\phi^*(u)}_{\rightarrow}^T \nabla \underbrace{\phi^*(v)}_{\leftarrow}$$

$$f(v) = \nabla \phi^*(v)$$

Identifikationen, Darstellungen und Dualität

Bei \otimes Dualität schwächer

$$\widehat{f}_1 \in \text{Hom}(V, V^*)$$

$$u \mapsto f(u, \cdot)$$

$$\Pi_{B^*}^B(\widehat{f}_1) = \left[\begin{array}{c|c} & 1 \\ \hline 1 & \theta_{B^*}^{-1}(f(e_j, \cdot)) \end{array} \right]$$

$$\widehat{f}_2 \in \text{Hom}(V, V^*)$$

$$v \mapsto f(\cdot, v)$$

$$\sum_{i=r}^n x_i e_i$$

Ungesetzt

$$f(u, v) = \theta_B^{-1}(u) \Pi_{B^*}^B(\widehat{f}_1) \theta_{B^*}^{-1}(v)$$

$$f \in \text{Bilp}(V \otimes V; K)$$

$$(u, v) \mapsto f(u, v)$$

Darstellungsmatrix $\Pi_1^{B \otimes B}(\widehat{f})$

$$= [f(e_1, e_1), f(e_2, e_1), \dots, f(e_n, e_1)]$$

Vektorisierte Form von $\Pi_{B^*}^B(\widehat{f}_1)$

$$\widehat{f} \in V^* \otimes V^*$$

$$\widehat{f} = \sum_{i,j} x_{i,j} e_i \otimes e_j$$

$e_i \otimes e_j$ einander \rightsquigarrow dual zu $f(e_i, e_j)$

Tensorkomponenten \widehat{f} $\widehat{f}_{i,j} = f(e_i, e_j)$

$$\widehat{f} \in \text{Hom}(V \otimes V; K)$$

$$u \otimes v \mapsto f(u, v)$$

$$\widehat{f}^*: K^* \rightarrow (V \otimes V)^*$$